

sshoari@gmeil.com :

(دریافت مقاله: ۱۳۸۸/۹/۹؛ دریافت نسخه نهایی: ۱۳۸۹/۳/۲۴)

صفحه‌ای^۱ تعریف می‌شود. در لایه‌های مرزی هوموتروپیک امتداد محور آسان زیرلایه، عمود بر صفحه سطح بلور و در لایه‌های مرزی صفحه‌ای، منطبق بر صفحه سطح آن است. مطالعه سمت‌گیری مولکول‌های بلور مایع و تغییرات آن چه به لحاظ بنیادی-نظری و چه کاربردی-تجربی اهمیت به سزاوی دارد [۱ و ۲].

گذارهای سمت‌گیری نقش عمدہ‌ای در تعیین خواص الکتریکی، مغناطیسی واپتیکی بلورهای مایع دارند. در یک سلول بلور مایع نماتیک [۳] ساختار تعادلی موضعی بلور با اعمال میدان‌های مغناطیسی و الکتریکی کوچک تغییر نمی‌کند. اما به ازای یک مقدار بحرانی ساختار بلور مختل شده و با اعمال میدان‌های بزرگ‌تر پیکربندی

بلورهای مایع مواد ناهمسانگرد با نظم سمت‌گیری بلند برد هستند که نظم مکانی دور برد در آنها مختل گشته است. جهت مرجعی که محور طولی مولکول‌ها در امتداد آن سمت‌گیری می‌کنند با بردار جهت نما، \mathbf{n} ، تعریف می‌شود و امتدادهایی که انرژی سطحی را کمینه می‌کنند امتدادهای آسان می‌نامند. این امتدادها به طبیعت سطوح مرزی بلور بستگی دارند. به طور کلی بافت بلور مایع و میدان جهت نما شدیداً تحت اثر میدان‌های خارجی قرار می‌گیرند. جفت شدگی‌های قوی سطحی به شرایط چنگ زدگی قوی درسطح زیرلایه‌های بلور می‌انجامند که در آن جهت نما کاملاً منطبق بر امتداد محور آسان خواهد بود. برای بلورهای مایع دو لایه مرزی هوموتروپیک^۱ و

۱. Planar

۱. Homotropic

چگالی‌های انرژی آزاد کشسانی و مغناطیسی است که به ترتیب با عبارت‌های زیر داده می‌شوند [۳ و ۱۰] :

$$F_e = \frac{1}{2} [K_{11}(\nabla \cdot \mathbf{n})^2 + K_{22}(\mathbf{n} \cdot \nabla \times \mathbf{n})^2 + K_{33}(\mathbf{n} \times \nabla \times \mathbf{n})^2], \quad (3)$$

$$F_m = \mu_0^{-1} (\chi_\perp B^2 + \Delta \chi (\mathbf{n} \cdot \mathbf{B})^2), \quad (4)$$

K_{11} ، K_{22} و K_{33} ثابت‌های کشسانی بلور مایع به ترتیب وابسته به تغییرشکل‌های پخ^۳، پیچش^۴، و خمش^۵ هستند. $\Delta \chi$ ناهمسانگردی پذیرفتاری مغناطیسی را نشان می‌دهد، در امتدادهای عمود بر جهت نما و موازی با آن می‌باشد. انرژی آزاد کل را می‌توان با استفاده از رابطه زیر به دست آورد:

$$G = \int (F_e + F_m) d^3 r, \quad (5)$$

با جایگذاری رابطه‌های (۱) و (۲) در روابط (۳) و (۴) و پس از انجام یک سری عملیات ریاضی چگالی انرژی آزاد کل به شکل زیر ساده می‌شود [۵]

$$F = \frac{1}{2} (K_{11} \cos^2 \theta + K_{33} \sin^2 \theta) \left(\frac{d\theta}{dz} \right)^2 - \frac{1}{2} \mu_0^{-1} (\chi_\perp \cos^2 \theta + \chi_{11} \sin^2 \theta) B^2, \quad (6)$$

در این حالت با توجه به هندسه مسئله و چنگ زدگی‌های صفحه‌ای نامتناهی در سطوح مرزی بلور شرایط مرزی به صورت $\theta = \theta(d)$ در نظر گرفته می‌شود. با اعمال شرایط مرزی و به کار بردن روش اویلر-لاگرانژ مجموعه معادلات زیر به دست می‌آید [۵] :

$$f(\theta) \frac{d^2 \theta}{dz^2} + \frac{1}{2} f'(\theta) \left(\frac{d\theta}{dz} \right)^2 + \mu_0^{-1} \Delta \chi B^2 \sin \theta \cos \theta = 0, \quad (7)$$

با

$$f(\theta) = K_{11} \cos^2 \theta + K_{33} \sin^2 \theta, \quad (8)$$

و $f'(\theta)$ مشتق نسبت به θ را نشان می‌دهد. با انجام محاسبات برای تیغه نماتیک MBBA [۲] توزیع میدان جهت نما در این وضعیت به دست می‌آید، (شکل ۱). ملاحظه می‌شود که به ازای میدان‌های بزرگتر از میدان بحرانی گشتاور مغناطیسی بر گشتاور

واپیچیده‌ای^۱ خواهیم داشت که در آن مولکول‌ها جز در نواحی گذار مرزی تقریباً در امتداد میدان سمت‌گیری می‌کنند. گذار فازی که بین این دو نوع پیکربندی صورت می‌گیرد به گذار فردیکر^۲ [۲ و ۳] معروف است. نشان داده شده است که میدان بحرانی این گذار متناسب با عکس ضخامت نمونه است [۴].

تغییرات سمت‌گیری مولکول‌های بلور مایع در وضعیت یک بعدی، با اندازه‌گیری زاویه سمت‌گیری در یک تیغه نماتیک و تعیین بستگی آن با ضخامت تیغه، در کارهای پیشین مورد مطالعه قرار گرفته است [۵ و ۶]. در بررسی‌های فوق محاسبات با در نظر گرفتن شرایط مرزی صفحه‌ای و چنگ زدگی‌های قوی نامتناهی انجام شده است. مطالعات انجام شده در سال‌های اخیر عمدهاً محدود به بررسی‌های تجربی یا نظری با یک نوع چنگ زدگی و تغییرات زاویه‌ای در یک بعد بوده است [۹-۷]. در این مقاله ما ضمن مطالعه اثر چنگ زدگی‌های متناهی و ضعیف در تیغه‌های نماتیک با شرایط مرزی صفحه‌ای، به حل مسئله در وضعیت‌های دو بعدی با دو نوع سطوح مرزی متفاوت هموتروپیک و صفحه‌ای می‌پردازیم که در آنها تغییرات سمت‌گیری مولکول‌های بلور مایع در دو بعد صورت می‌گیرند و با یک هندسه بلوری دو بعدی رو به رو هستیم.

.

.

یک لایه بلور مایع نماتیک در نظر می‌گیریم که به دو سطح در $z=0$ و $z=d$ ، با چنگ زدگی‌های صفحه‌ای محدود شده است. یک میدان مغناطیسی در امتداد محور z عمود بر سطوح مرزی، اعمال می‌کنیم. فرض می‌کنیم تغییرات سمت‌گیری در صفحه رخ دهد (صفحه $z-y$). در این هندسه بلور بردار جهت نما تنها با یک زاویه اویلر توصیف می‌شود و اغتشاش ایجاد شده در الگوی سمت‌گیری فقط در یک بعد صورت می‌گیرد:

$$\mathbf{n} = (0, \cos \theta(z), \sin \theta(z)), \quad (1)$$

$$\mathbf{B} = (0, 0, B). \quad (2)$$

در شرایط چنگ زدگی نامتناهی چگالی انرژی آزاد کل شامل

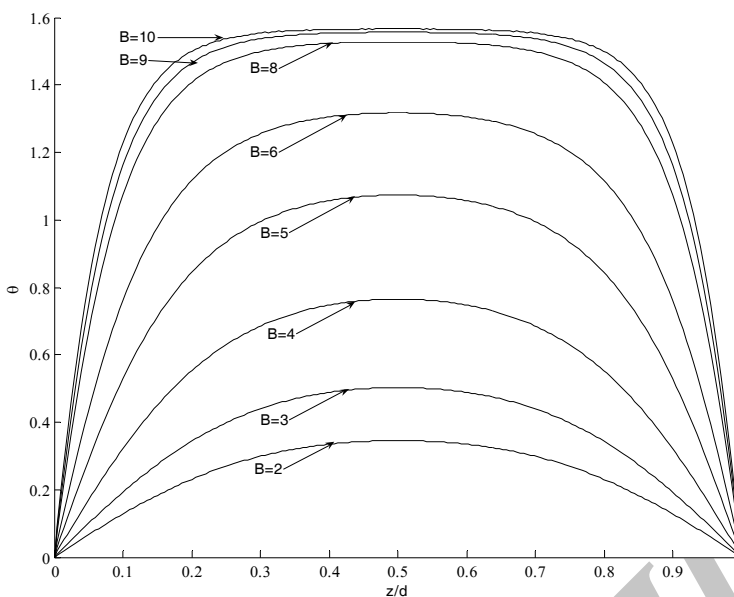
۱. Distorted configuration

۲. Fredericks transition

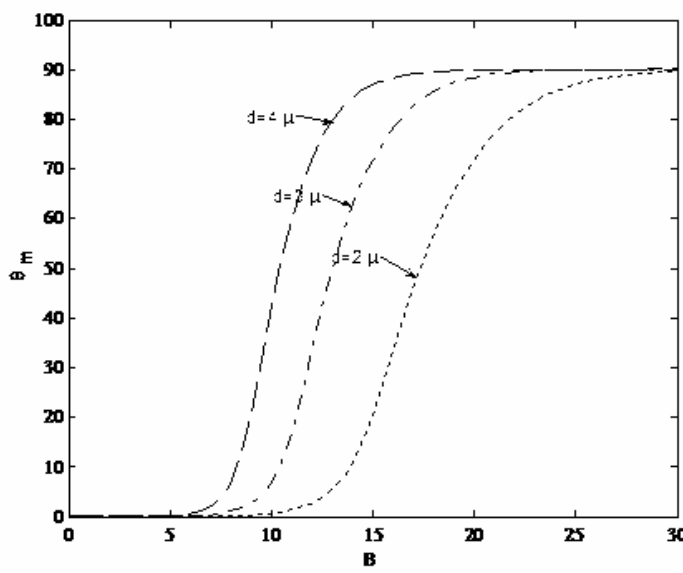
۳. Splay

۴. Twist

۵. Bend



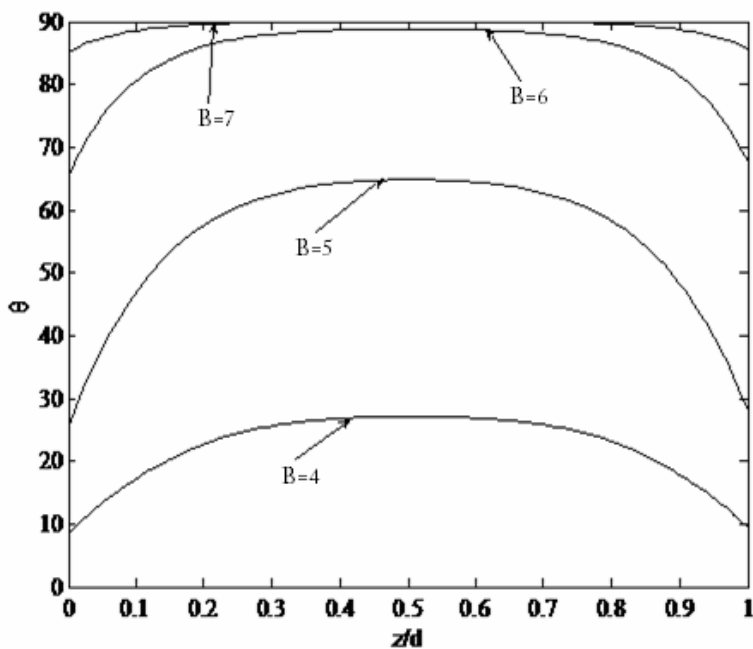
شکل ۱. توزیع میدان جهت نما در شرایط چنگ زدگی نامتناهی، تغییرات امتداد جهت نما بر حسب ضخامت بدون بعد Z/d ، به ازای میدان‌های مغناطیسی متغیر به ترتیب از $B=10$ تا $B=2$ T.



شکل ۲. تغییرات بیشینه و اپیچش بر حسب میدان، از صفر تا ۳۰ T، به ازای ضخامت‌های مختلف سلول $4\text{ }\mu\text{m}$ ، $3\text{ }\mu\text{m}$ و $2\text{ }\mu\text{m}$ ، در شرایط چنگ زدگی نامتناهی.

میدان مغناطیسی برای تیغه‌هایی با ضخامت‌هایی به ترتیب $4\text{ }\mu\text{m}$ ، $3\text{ }\mu\text{m}$ و $2\text{ }\mu\text{m}$ به دست آوردیم. مطالعه نتایج، شکل ۲، نشان داد که میدان آستانه گذار مطابق انتظار متناسب با عکس ضخامت تیغه تغییر می‌کند. هم چنین با افزایش میدان مغناطیسی، بر مقدار θ_m نیز افزوده می‌شود. ملاحظه می‌شود که برای تیغه‌های با ضخامت‌های کم میدان‌های بسیار قویی نیاز داریم.

کشناسی غالب گشته و دستگاه به وضعیت تعادل ناپایدار در کمترین افت و خیزهای جهت نما انتقال فاز می‌دهد. با افزایش میدان به بیش از این حد، B_c زاویه بین بردار جهت نما و صفحه $x-y$ در وسط این تیغه نماییک از صفر تا 90° درجه تغییر می‌کند. به منظور تعیین میدان آستانه گذار و بستگی آن به ضخامت و هندسه تیغه بلور، تغییرات بیشینه و اپیچش θ_m را با افزایش



شکل ۳. توزیع میدان جهت نما در شرایط چنگ زدگی ضعیف، برای میدان‌های مختلف از $T = VT$ تا $B = 4T$ با $B = 7T$.

با قراردادن رابطه‌های (۱)، (۲) و (۱۰) در رابطه (۱۱) معادلات

غیر خطی نسبتاً پیچیده‌تری به دست می‌آیند که با حل این معادلات و استفاده از روش اویلر- لاگرانژ انرژی آزاد را کمینه می‌کنیم [۱۰]،

$$\frac{\partial F_b}{\partial \theta} + \frac{\partial}{\partial z} \left[\frac{\partial F_b}{\partial (\partial \theta / \partial z)} \right] = 0, \quad (13)$$

که در آن F_b نمایانگر چگالی انرژی آزاد کپه‌ای دستگاه می‌باشد. برای این وضعیت، شرایط مرزی نمونه را با توجه به چنگ زدگی‌های ضعیف در سطوح محدود کننده بلور به صورت زیر می‌نویسیم:

$$\frac{\partial F_s}{\partial \theta} + \frac{\partial F_b}{\partial (\partial \theta / \partial z)} = 0. \quad (14)$$

با حل همزمان معادلات حاصل و به کارگیری روش‌های عددی [۱۳]، توزیع تعادلی میدان جهت نما را تحت این شرایط مرزی تعیین می‌کنیم. نتایج در شکل ۳ نشان داده شده‌اند. چنانچه مشاهده می‌شود با افزایش میدان، علاوه بر تغییر زاویه بین بردار جهت نما و صفحه $y-x$ در وسط تیغه، این زاویه در نقاط مجاور سطوح تیغه نیز تغییر می‌کنند و به ازای میدان‌های بسیار بزرگتر از میدان بحرانی، گشتاور مغناطیسی قادر به فانق آمدن بر گشتاورهای القایی ناشی از چنگ زدگی‌های سطحی است.

حال چنانچه در سطوح مرزی این تیغه نماتیک چنگ زدگی‌های صفحه‌ای متناهی داشته باشیم با معادلات غیر خطی نسبتاً پیچیده‌تری رو به رو خواهیم بود. در این حالت لازم است به معادلات (۳) و (۴) عبارت چگالی انرژی آزاد سطحی را نیز اضافه کنیم [۱۱]:

$$F_s = -\frac{1}{2} A(\mathbf{n} \cdot \mathbf{e})^2, \quad (9)$$

شدت چنگ زدگی و بردار یکه \mathbf{e} امتداد آسان سطوح مرزی را مشخص می‌کنند:

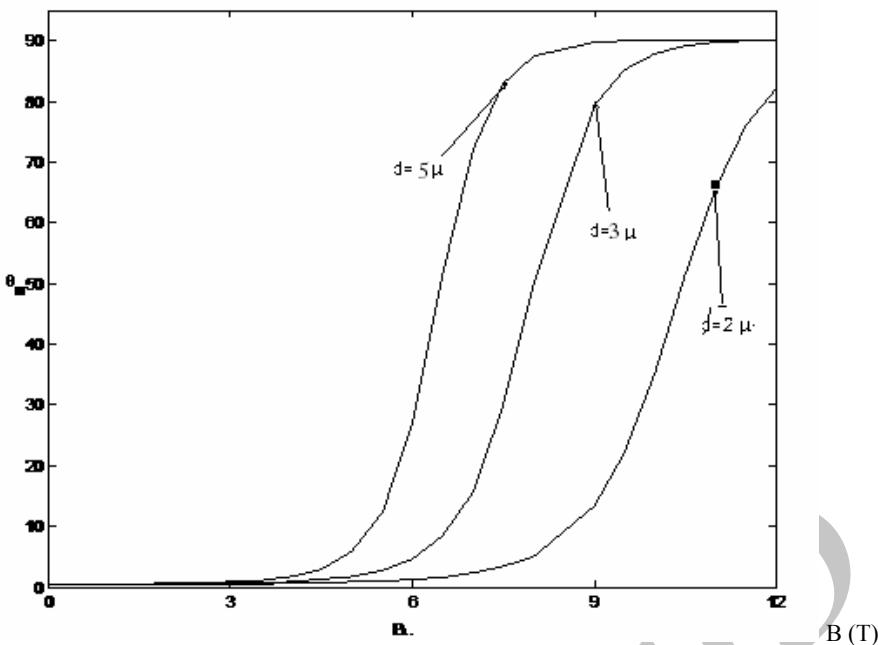
$$\mathbf{e} = (\cos \theta, \sin \theta), \quad (10)$$

انرژی آزاد کل شامل انرژی آزاد کپه‌ای و انرژی آزاد سطحی خواهد بود:

$$G = \frac{1}{2} \int [K_{11}(\nabla \cdot \mathbf{n})^2 + K_{22}(\mathbf{n} \cdot \nabla \times \mathbf{n})^2 + K_{33}(\mathbf{n} \times \nabla \times \mathbf{n})^2 - \mu_0^{-1} (\chi_\perp B^2 + \Delta \chi (\mathbf{n} \cdot \mathbf{B})^2)] d^3 r - \frac{1}{2} \int A(\mathbf{n} \cdot \mathbf{e})^2 d^3 r. \quad (11)$$

چگالی انرژی آزاد سطحی در چارچوب این مدل ساده یک بعدی با عبارت زیر تقریب زده می‌شود [۱۱ و ۱۲]:

$$F_s = \frac{1}{2} A \sin^2 \theta(z). \quad (12)$$



شکل ۴. تغییرات بیشینه و اپیچش بر حسب میدان، از صفر تا ۱۲T، به ازای ضخامت‌های مختلف سلول، ۳μ، ۲μ و ۵μ، در شرایط چنگ زدگی ضعیف.

و شرایط چنگ زدگی قوی در دیواره‌های سلول داشته باشیم به گونه‌ای که طول برون یابی در مقایسه با ابعاد نمونه و طول همدوسی مغناطیسی بسیار کوچک باشد [۳].

با اعمال میدان مغناطیسی در امتداد z تغییرات سمت‌گیری مولکول‌های بلور مایع و توزیع میدان جهت نما در دو بعد صورت می‌گیرد، بنابراین داریم:

$$n = n(y, z) = (\circ, \cos \theta, \sin \theta), \quad \theta = \theta(y, z), \quad (15)$$

شرایط مرزی نمونه را به صورت زیر می‌نویسیم:

$$\theta = \theta(y, \circ) = \theta(y, l_z) = \circ, \quad (16)$$

$$\theta = \theta(\circ, z) = \theta(l_y, z) = 90^\circ. \quad (17)$$

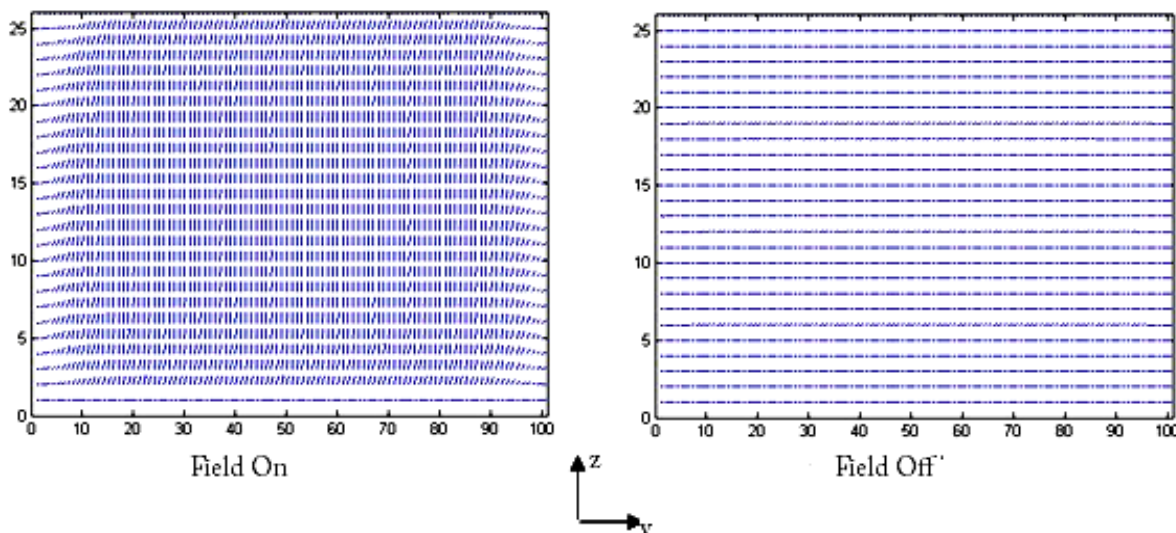
چگالی انرژی آزاد کل را با استفاده از معادلات اویلر-لاگرانژ کمینه می‌کنیم:

$$\frac{\partial F_t}{\partial \theta} - \frac{\partial}{\partial x_i} \left[\frac{\partial F_t}{\partial (\partial \theta / \partial x_i)} \right] = \circ, \quad (18)$$

با جایگذاری روابط (15) در معادلات (3) و (4) برای این حالت دو بعدی و پس از انجام عملیات ریاضی نسبتاً طولانی و مرتب نمودن جملات، از کمینه کردن چگالی انرژی آزاد کل به عبارت زیر می‌رسیم:

برای این حالت نیز تغییرات بیشینه و اپیچش θ_m را با افزایش میدان مغناطیسی برای تیغه‌هایی با ضخامت‌های قبلی به دست می‌آوریم، (شکل ۴). در این مورد نیز تناسب عکس میدان بحرانی گذار با ضخامت تیغه آشکار می‌گردد. اما از مقایسه نتایج به دست آمده در این وضعیت با مورد چنگ زدگی نامتناهی شکل ۲، می‌توان نتیجه گرفت که در تیغه‌هایی با شرایط چنگ زدگی صفحه‌ای ضعیف به دلیل اثر غالب گشتاورهای مغناطیسی در رقابت با گشتاورهای کشسانی القایی سطوح محدود کننده که به همسو سازی بردار جهت نما با امتداد آسان سطوح می‌انجامد، آستانه گذار پایین می‌آید و بافت واپیچیده بلور مایع به ازای میدان‌های مغناطیسی کوچکتری تشکیل می‌گردد.

سلول نماتیکی با سطح مقطع مربع مستطیلی (صفحه z-y) در نظر می‌گیریم که در امتداد سوم (x) تا بی‌نهایت ادامه دارد. فرض می‌کنیم در سطوح $z = \circ$ و $z = l_z$ شرایط مرزی صفحه‌ای و در سطوح $y = \circ$ و $y = l_y$ شرایط مرزی هوموتروپیک برقرار باشد



شکل ۵. میدان جهت نما برای هندسه چهارگوشی، در حالت اولیه که میدان خاموش است و حالت بعد از روشن شدن میدان به ازای میدان‌های بزرگتر از میدان بحرانی، جهت نما در مرزها به دلیل چنگ زدگی قوی ثابت می‌ماند.

از به کارگیری روش‌های عددی هستیم. با این نوع هندسه دو بعدی، به ویژه در بلورهای مایع محدود شده روبه‌رو می‌شویم که از نقطه نظر تجربی در نمونه‌های بلوری محدود به تیوب‌هایی با سطح مقطع مربع مستطیلی کاربرد دارند. به علاوه کنترل سمت‌گیری در شرایط چنگ زدگی‌های مختلف از مسائل حساس در ساخت اسباب اپتیکی نماتیک به ویژه نمایشگرهای LC می‌باشد که مثال خوبی از کاربرد تایج حاصل از حل معادلات فوق است.

حال برای یافتن میدان جهت نما، بررسی تغییرات سمت‌گیری و ایجاد بافت‌های واپیچیده، بلور مایع نماتیک درون این سلول را از نوع MBBA در نظر می‌گیریم و با استفاده از روش‌های عددی [۱۲] به حل مسئله در چارچوب این هندسه دو بعدی می‌پردازیم. محاسبات را از حالت خاموش ($B = 0$) شروع می‌کنیم و با روشن کردن میدان و افزایش آن تغییرات سمت‌گیری جهت نما را تعیین می‌کنیم. میدان جهت نما برای این هندسه دو بعدی در شکل ۵ نشان داده شده است. ملاحظه می‌شود که سمت‌گیری در سطوح مرزی به دلیل چنگ زدگی‌های قوی ثابت می‌ماند.

$$(K_{11} \cos^2 \theta + K_{33} \sin^2 \theta) \frac{\partial^2 \theta}{\partial z^2} + (K_{11} \sin^2 \theta + K_{33} \cos^2 \theta) \frac{\partial^2 \theta}{\partial y^2} + (K_{33} - K_{11}) \sin \theta \cos \theta \left[\left(\frac{\partial \theta}{\partial y} \right)^2 - \left(\frac{\partial \theta}{\partial z} \right)^2 \right] + K_{33} (\sin^2 \theta - \cos^2 \theta) \frac{\partial \theta}{\partial y} \frac{\partial \theta}{\partial z} + K_{33} \cos \theta \sin \theta \frac{\partial^2 \theta}{\partial y \partial z} + \mu_0^{-1} \Delta \chi B^2 \sin \theta \cos \theta = 0. \quad (19)$$

با تعریف تابع‌های $f(\theta)$ و $g(\theta)$ به صورت زیر

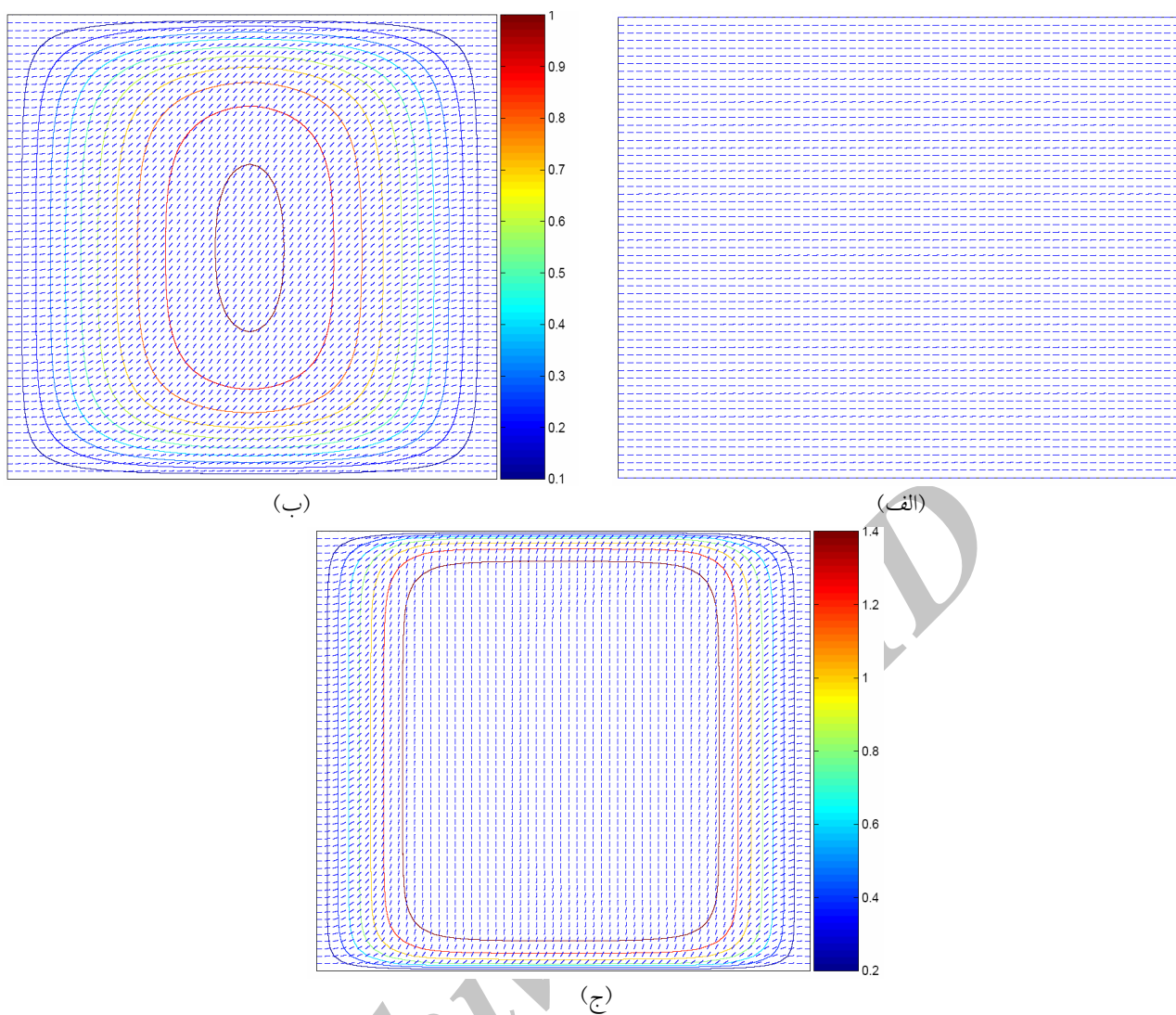
$$f(\theta) = K_{11} \cos^2 \theta + K_{33} \sin^2 \theta, \quad (20)$$

$$g(\theta) = K_{11} \sin^2 \theta + K_{33} \cos^2 \theta,$$

معادله (۱۹) را به شکل ساده‌تری می‌نویسیم:

$$f(\theta) \frac{\partial^2 \theta}{\partial z^2} + g(\theta) \frac{\partial^2 \theta}{\partial y^2} + \frac{1}{2} f'(\theta) \left(\frac{\partial^2 \theta}{\partial z^2} \right)^2 + \frac{1}{2} g'(\theta) \left(\frac{\partial^2 \theta}{\partial y^2} \right)^2 + K_{33} (\sin^2 \theta - \cos^2 \theta) \frac{\partial \theta}{\partial y} \frac{\partial \theta}{\partial z} + K_{33} \cos \theta \sin \theta \frac{\partial^2 \theta}{\partial y \partial z} + \mu_0^{-1} \Delta \chi B^2 \sin \theta \cos \theta = 0, \quad (21)$$

علامت پریم مشتق نسبت به θ را نشان می‌دهد. توزیع میدان جهت نما و تغییرات سمت‌گیری را برای وضعیت دو بعدی توصیف شده فوق می‌توان با حل این معادله تعیین نمود. اما برای حل این معادله، به دلیل ماهیت شدیداً غیر خطی آن ناچار



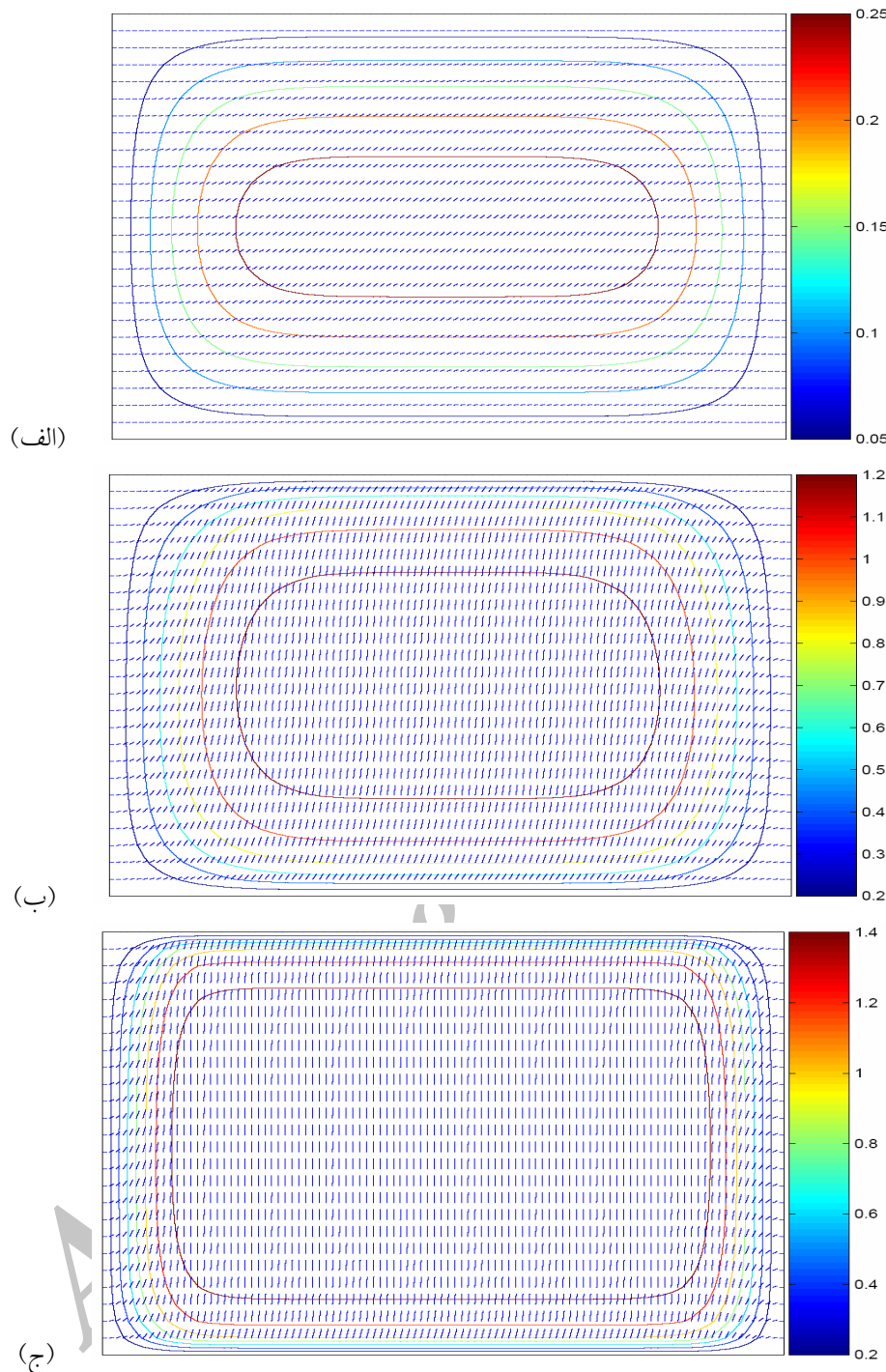
شکل ۶ . میدان جهت نما به صورت تابعی از ابعاد برای هندسه چهارگوشی به ازای میدان‌های مغناطیسی در شرایط (الف) کوچکتر از میدان بحرانی B_c ، (ب) بزرگتر از میدان بحرانی، $B_c < B < 2B_c$ و (ج) بسیار بزرگتر از میدان بحرانی، $B > 2B_c$.

مورد می‌توان گفت که ساختار مختلف نشله^۱ حتی در حضور میدان مغناطیسی نیز شرایط تعادل موضعی خود را حفظ می‌کند. با افزایش میدان مغناطیسی و انجام محاسبات طبیعت گذار فردیکز مانند مورد یک بعدی، کاملاً آشکار می‌گردد طوری که به ازای میدان‌های بزرگتر از یک حد بحرانی بافت میدانی تشکیل می‌گردد (شکل ۶-ب) و با افزایش بیشتر میدان تقریباً کل نمونه جز در نواحی نزدیک به سطوح مرزی در امتداد میدان مغناطیسی سمت‌گیری می‌شوند، (شکل ۶-ج).

همچنین برای بررسی اثر ابعاد سلول و دیوارهای

حال به منظور مطالعه و بررسی دقیق‌تر پاسخ سلول نماتیک به میدان خارجی، ماهیت گذار سمت‌گیری در هندسه دو بعدی و بستگی میدان گذار به ابعاد هندسه سلول، محاسبات را برای وضعیت‌های مختلف از نظر ابعاد و شدت میدان انجام می‌دهیم. ابتدا سلولی با ابعاد یکسان در دو بعد در نظر می‌گیریم و با اعمال میدان‌های مغناطیسی کوچک میدان جهت نما را تعیین نموده و تغییرات سمت‌گیری آن را با افزایش میدان بررسی می‌کنیم. نتایج نشان می‌دهند که مولکول‌ها هیچ گونه پاسخی به میدان‌های خارجی اعمال شده کوچک نمی‌دهند، (شکل ۶-الف). لذا در این

۱. Unperturbed configuration



شکل ۷. میدان جهت نما به صورت تابعی از ابعاد برای مورد $B_c = 10T$ ، (جهت وضوح تصاویر مقیاسها تغییر داده شده‌اند). (الف) به ازای میدان‌های مغناطیسی بزرگتر از میدان بحرانی $B_c = 10T$ ، (ب) و (ج) به ازای میدان‌های بسیار بزرگتر از میدان بحرانی $B_c = 20T$ ، به ترتیب $B=20T$ و $B=30T$.

مورد دو بعدی نیز شدت میدان بحرانی با ابعاد سلول نسبت عکس دارد. در این مورد اثر دیواره‌ها در $y=0$ و $y=l_y$ در سمت‌گیری‌ها کاهش می‌یابد. با کاهش ضخامت سلول (l_z) میدان بحرانی گذار افزایش می‌یابد و همسویی میدان جهت نما

محدد کننده، ابعاد سلول را طوری تغییر می‌دهیم که $l_z = 5l_y$ و مسئله را برای این مورد حل می‌کنیم. تغییرات سمت‌گیری و میدان جهت نما را به دست می‌آوریم. از مقایسه نتایج حاصل، شکل‌های ۷-الف و ۷-ب، همان گونه که انتظار داشتیم در

میدان بحرانی گذار با عکس ابعاد سلول متناسب است. اما در این شرایط آستانه گذار پایین می‌آید و بافت واپیچیده بلور مایع به ازای میدان‌های کوچکتر و در نواحی گسترده‌تری از سلول تشکیل می‌گردد. با انجام محاسبات برای وضعیت دو بعدی رفتار مولکول‌ها در سلول نماتیک با چنگ زدگی‌های صفحه‌ای و هوموتروپیک در دو بعد آن مورد مطالعه قرار گرفتند. در این وضعیت نیز طبیعت گذار فردیکز آشکار شد. ما در این مقاله صرفاً به بررسی ناپایداری‌های استاتیکی پرداختیم. مطالعه رفتارهای دینامیکی گذار فردیکز در جای دیگری انجام شده است [۵]. همچنین در این کار بلور مایع نماتیک را خالص و تک حوزه‌ای (Monodomain) در نظر گرفتیم و از اثر حضور عیوب توپولوژیکی و ناخالصی‌ها چشم پوشی کردیم. وارد کردن ذرات کلوئیدی در حجم بلور مایع به ایجاد عیوب خاصی منجر می‌گردد که در مقالات دیگری مورد بحث قرار گرفته است [۱۴-۱۸]. اما بررسی مسئله حاضر در حضور چنین عیوبی با پیچیدگی‌های خاصی همراه است که نیاز به مطالعات بیشتری دارد و در کارهای آتی به آن خواهیم پرداخت.

و میدان خارجی به ازای میدان‌های بزرگتری رخ می‌دهد. بدیهی است در این مورد اثر گوشه‌ها در امتداد طول سلول‌ها کم می‌شود. به علاوه توجه به این نکته ارزشمند است که در لایه‌های مرزی به دلیل شرایط چنگ زدگی قوی، همچنان تغییرات کشناسانی القا شده از طرف دیواره‌ها اثر غالب را دارند.

در این مقاله به بررسی گذار فردیکز در سلول‌های بلور مایع نماتیک در وضعیت‌های هندسی یک و دو بعدی پرداختیم. این مطالعات در چارچوب نظریه پیوستگی و مدل فرانک انجام شدند. با استفاده از روش‌های عددی میدان جهت نما و چگونگی توزیع آن تعیین شدند. اثر ابعاد سلول، تغییرات بیشینه واپیچش θ_m در اثر افزایش میدان مغناطیسی و همچنین اثر چنگ زدگی‌های متناهی و نامتناهی مورد مطالعه قرار گرفتند. نشان داده شد که در شرایط چنگ زدگی‌های متناهی نیز مانند شرایط چنگ زدگی نامتناهی، بافت بلور مایع به ازای میدان‌های بزرگتر از یک حد بحرانی ایجاد می‌شود که در این مورد نیز تغییر آرایش بندی مولکول‌ها و شدت آن تابع میدان می‌باشد و

9. D O Krimer, *Phys. Rev. E*, **79** (2009) 030702.
10. D Demus, J Goodby, G W Gray, H W Spiess, V Vill, “Physical Properties of Liquid Crystals”, Wiley-VCH (1999).
11. Y Guo-Chen, Z Shu-jing, H Li-Jun and G Rong-Hua, *Liquid Crystals*, **31** (2004) 8.
12. A Rapini and Papoulier, *J. Phys. (Paris) Colloq.* **30**, (1969) C4-54.
13. C A J Fletcher, “Computational Techniques for Fluid Dynamics”, Springer-Verlag, London (1988).
14. M A Shahzamanian and S Shoarnejad, *J. Phys.: Condens. Matter*, **19** (2007) 156101.
15. H Stark, D Ventzki and M Reichert, *J. Phys.: Condens. Matter* **15** (2003) S191.
16. J Fukuda, H Stark, M Yoneya and H Yokoyama, *Phys. Rev. E* **69** (2004) 041706.
17. R W Ruhwandl and E M Terentjev, *Z. Natureforsch. A* **50** (1995) 1023.
18. F R Hung and S Bale, *Molecular Simulation*, **35** (2009) 10.

1. M A Shahzamanian and M Ghafari, *J. Molecular Crystals and Liquid Crystals*, **414** (2004) 11.
2. W H de Jeu, “Physical Properties of Liquid Crystalline Materials”, Gordon and Breach Publishers, New York (1980).
3. P G De Gennes and J Prost, “The Physics of Liquid Crystals”, OXFORD University Press (1995).
4. محمد علی شاهزمانیان و مجید غفاری، مجله پژوهشی علوم پایه دانشگاه اصفهان، ۱، ۲۱ (۱۳۸۴) ۴۳.
5. S Shoarnejad and M Shahzamanian, *J. Molecular Liquids*, **138** (2008) 14.
6. محمد علی، شاهزمانیان و مجید غفاری، مجله پژوهش فیزیک ایران، ۴، ۱۱۷ (۱۳۸۳) ۲.
7. W Jian, L Yu, C Yonglie, L Zhaoxi, X Ying, L Ziyang, S Longpei and Z Jianying, *J. Materials Science*, **12** (2001) 10.
8. K Urayama, S Honda and T Takigawa, *Macromolecules*, **39** (2006) 5.